

高能重离子碰撞中有 QGP 形成时的 多 π 关联信号 *

张卫宁 霍雷 陈相君 刘亦铭

(哈尔滨工业大学理论物理教研室 哈尔滨 150001)

D. Keane H. Liu

(Department of Physics, Kent State University, Kent, Ohio 44242)

摘要 对高能重离子碰撞中有夸克-胶子等离子体(QGP)形成时的多粒子玻色-爱因斯坦关联进行了分析。通过考查多 π 关联平均强度随事件 π 多重数的变化表明,当有QGP产生时,多 π 关联平均强度在某一高多重数区域会有明显的上升;这种信号能够敏感地检测在高能重离子碰撞中少数有QGP形成的高 π 多重数事件。

关键词 高能重离子碰撞 多 π 关联 夸克-胶子等离子体

1 引言

高能重离子碰撞的主要目的之一就是探测夸克-胶子等离子体(QGP)。在文献[1, 2]中, J. Kapusta, A. Vischer 和 R. Venugopalan 讨论了在 AGS 能量下, 重离子中心碰撞的图像, 以及形成 QGP 核的可能性。他们认为, 在 AGS 能量下, 重离子中心碰撞有可能在少数事件中会形成夸克-胶子等离子体的种子核, 从而使核物质变为等离子体。在均匀成核模型下, 这种事件的几率是千分之一到百分之一^[1]。在非均匀成核模型下, 这种事件的几率可提高 1—2 个数量级^[2]。由于 QGP 源产生的全同 π 介子平均事件多重数大于强子气体源产生的全同 π 介子平均事件多重数, 因而在末态全同 π 介子多重数分布的高多重数区域会出现肩形的结构^[2]。本文研究了在高能重离子碰撞中当少数事件有 QGP 形成时的多 π 关联信号。基于文献[1, 2]的讨论, 假定在大多数事件中, 核物质始终处在强子气体状态; 只是在少数事件中, 核物质完全相变为 QGP, 后来在表面迅速强子化, 产生 π 介子^[3, 4]。在这两种情况下, π 发射源的空间分布分别用高斯分布和球面分布来描述, 它们对时间的分布均取为高斯分布, 其寿命为 τ 。由于在一二级相变下, 核物质在 QGP 相的密度远大于强子气体相的密度^[1], 因而两种情况下 π 源的空间尺度不同。在本文中, 称这两种 π 源分别为强子

1998-02-24 收稿

* 国家自然科学基金资助

气体相π源和QGP相π源,它们的半径分别取为 $R_G = 5.5\text{fm}$ 和 $R_s = 3.0\text{fm}$,两种π源的温度 T 均取为150MeV.

2 多π关联函数的计算

m 个全同π介子关联函数的定义为

$$C(\mathbf{p}_1, \mathbf{p}_2, \dots, \mathbf{p}_m) = \frac{P(\mathbf{p}_1, \mathbf{p}_2, \dots, \mathbf{p}_m)}{P(\mathbf{p}_1)P(\mathbf{p}_2)\cdots P(\mathbf{p}_m)}, \quad (1)$$

其中, $P(\mathbf{p}_i)$ 是单π谱分布,

$$\begin{aligned} P(\mathbf{p}_1, \mathbf{p}_2, \dots, \mathbf{p}_m) &= \int d^4r_1 \int d^4r_2 \cdots \int d^4r_m |\psi(\{\mathbf{p}\}; \{r\})|^2 \\ &\times g(\mathbf{p}_1, r_1)g(\mathbf{p}_2, r_2)\cdots g(\mathbf{p}_m, r_m), \end{aligned} \quad (2)$$

为事件中测量到 m 个全同π介子动量分别为 $\mathbf{p}_1, \mathbf{p}_2, \dots, \mathbf{p}_m$ 的几率。(2)式中, $\psi(\{\mathbf{p}\}; \{r\})$ 为 m 个全同π介子的对称末态波函数,符号 $\{\mathbf{p}\}$ 和 $\{r\}$ 分别表示所有动量 \mathbf{p}_i 和四坐标 r_i 的集合($i = 1, 2, \dots, m$); $g(\mathbf{p}_i, r_i)$ 为在源点 r_i 发出动量为 \mathbf{p}_i 的π介子的几率,不考虑粒子发射点坐标与动量的关联, $g(\mathbf{p}_i, r_i)$ 可表示为π源密度分布 $\rho(r_i)$ 与单π动量谱分布 $P(\mathbf{p}_i)$ 的乘积。在平面波假定下, m 个全同π介子的对称末态波函数可表示为

$$\psi(\{\mathbf{p}\}; \{r\}) = \frac{1}{\sqrt{m!}} \sum_{\sigma} \prod_{j=1}^m \exp(i\mathbf{p}_{\sigma(j)} \cdot \mathbf{r}_{\sigma(j)}), \quad (3)$$

其中 \mathbf{p}_j 是第 j 个π介子的四动量, $\sigma(j)$ 表示序列 $\{1, 2, \dots, m\}$ 的某种排列中的第 j 个元素, \sum_{σ} 表示对所有 $m!$ 个排列求和。将(3)式代入(2)式完成对时空坐标的积分后再代入(1)式,得到 m 个全同π介子的关联函数为^[5]

$$C(\mathbf{p}_1, \mathbf{p}_2, \dots, \mathbf{p}_m) = \sum_{\sigma} F_{1, \sigma(1)} F_{2, \sigma(2)} \cdots F_{m, \sigma(m)} \equiv \text{per}\{F_{i, j}\}, \quad (4)$$

其中,

$$F_{i, j} = \int \exp[i(\mathbf{p}_i - \mathbf{p}_j) \cdot \mathbf{r}] \rho(r) d^4r. \quad (5)$$

对高斯源^[5]

$$F_{i, j} = \exp\left(-\frac{1}{4} q_{ij}^2 R_G^2 - \frac{1}{4} q_{ij0}^2 \tau^2\right); \quad (6)$$

对以速率 v 径向膨胀的球面源^[6]

$$F_{i, j} = \frac{[\cosh(2y^2 - 2q_{ij}^2 R_s^2 + 2Q^2)^{1/2} - \cos(2q_{ij}^2 R_s^2 - 2y^2 + 2Q^2)^{1/2}]^{1/2}}{\sqrt{2} Q(\sinh y / y)} \exp\left(-\frac{1}{4} q_{ij0}^2 \tau^2\right), \quad (7)$$

其中 $q_{ij} = |\mathbf{p}_i - \mathbf{p}_j|$, $q_{i,j0} = |E_i - E_j|$ 分别是两个 π 介子的相对动量和相对能量, $Q^2 = \{(v^2 - q_{ij}^2 R_s^2)^2 + 4[\mathbf{y} \cdot (\mathbf{p}_i - \mathbf{p}_j)]^2 R_s^2\}^{1/2}$, $\mathbf{y} = (\mathbf{p}_i + \mathbf{p}_j) \gamma v / (2T)$, $\gamma = (1 - v)^{-1/2}$.

本文的多 π 关联分析采用如下的多粒子相对动量变量^[7]

$$Q_m = \left(\prod_{i < j \leq m}^K q_{ij} \right)^{1/K}, \quad m = 2, 3, \dots, M, \quad K = m(m-1)/2, \quad (8)$$

其中 M 为事件的全同 π 介子多重数, 求积号表示对 m 个 π 介子所有的 K 个相对动量求积.

以 Q_m 为变量, m 个全同 π 介子关联函数 $C(Q_m)$ 的计算步骤如下:

第一步, 按玻尔兹曼分布产生 m 个 π 介子的动量, 并计算 Q_m ;

第二步, 根据不同的源密度分布, 由(6)式或(7)式计算 $F_{i,j}$ ($i, j = 1, 2, \dots, m$), 并计算 $\text{per}\{F_{i,j}\}(Q_m)$;

第三步, 重复第一步, 第二步 n 次, 计算

$$C(Q_m) = \frac{1}{n(Q_m)} \sum_{i=1}^n \text{per}\{F_{i,j}\}(Q_m), \quad (9)$$

其中 $n(Q_m)$ 为对应 Q_m 的小区间内的计数.

在 $Q_m^{(1)} \leq Q_m \leq Q_m^{(2)}$ 区间上多 π 关联的平均强度定义为

$$S_m = \frac{1}{N_{\text{bin}}} \left[\sum_{Q_m^{(1)} \leq Q_m \leq Q_m^{(2)}} C(Q_m) \right], \quad (10)$$

其中 N_{bin} 为在 $[Q_m^{(1)}, Q_m^{(2)}]$ 范围内所划分的 Q_m 的小区间数目, 求和号代表对该范围内所有小区间上的 $C(Q_m)$ 值求和.

3 多 π 关联信号

在高能重离子碰撞中, 当少数事件有 QGP 产生时, π^- 介子的多重数分布可表示为^[2]

$$P_M = (1 - q) P_M^{\text{had}}(M_{\text{had}}) + q P_M^{\text{qg}}(M_{\text{qg}}), \quad (11)$$

其中 q 是有 QGP 形成事件的几率, $P_M^{\text{had}}(M_{\text{had}})$ 是平均值为 M_{had} 的纯强子气体相事件的 π^- 多重数分布, $P_M^{\text{qg}}(M_{\text{qg}})$ 是平均值为 M_{qg} 的 QGP 事件的 π^- 多重数分布. 根据文献 [2], 取 $P_M^{\text{had}}(M_{\text{had}})$ 和 $P_M^{\text{qg}}(M_{\text{qg}})$ 分别为平均值 $M_{\text{had}} = 145$ 和 $M_{\text{qg}} = 193$ 的泊松分布.

以 S_m^{qg} 和 S_m^{had} 分别表示对应 QGP 相 π 源和强子气体相 π 源的多 π 关联平均强度, 则多重数为 M 事件的多 π 关联的平均强度为

$$S_m(M) = A[S_m^{\text{had}}(1 - q) P_M^{\text{had}} + S_m^{\text{qg}} q P_M^{\text{qg}}], \quad (12)$$

其中

$$A = (1 - q) P_M^{\text{had}} + q P_M^{\text{qg}}. \quad (13)$$

图 1(a)和(a')分别显示的是总数 $N = 5 \times 10^5$ 和 $N = 1 \times 10^5$ 个事件的 π 多重数分布 NP_M , 图中的误差表示的是统计误差 $\sqrt{NP_M}$. 图 1(b)–(d)和(b')–(d')分别显示的是对应事件总数 $N = 5 \times 10^5$ 和 $N = 1 \times 10^5$ 情况下, 多 π 关联的平均强度 S_m 随多重数的变化. 在图 1(b')对应的情况下, 多重数 M 大于 210 的事件数为零. 由于多 π 关联函数在小 Q_m 区间的统计太低^[7], 故对应于 $m = 2, 4, 6$, 计算 S_m 时的 Q_m 区间分别取为 [100 MeV/c, 500 MeV/c], [200 MeV/c, 600 MeV/c], [300 MeV/c, 700 MeV/c]. 在图 1(b)–(d)和(b')–(d')中所表示的误差是对相应多重数的所有事件 NP_M , 计算多 π 关联平均强度的统计误差. 从多重数为 M 的一个事件中选取 m 个关联 π 介子的抽样数为 C_M^m , 因而在(9)式的计算中, $n = NP_M C_M^m$. 为简单起见, 在上述的 S_m 计算中已将两种 π 源的寿命 τ 均取为 0, QGP 相 π 源的膨胀速率 v 也取为 0. 有关源寿命和 QGP 相 π 源膨胀速率的影响将在第四节中讨论.

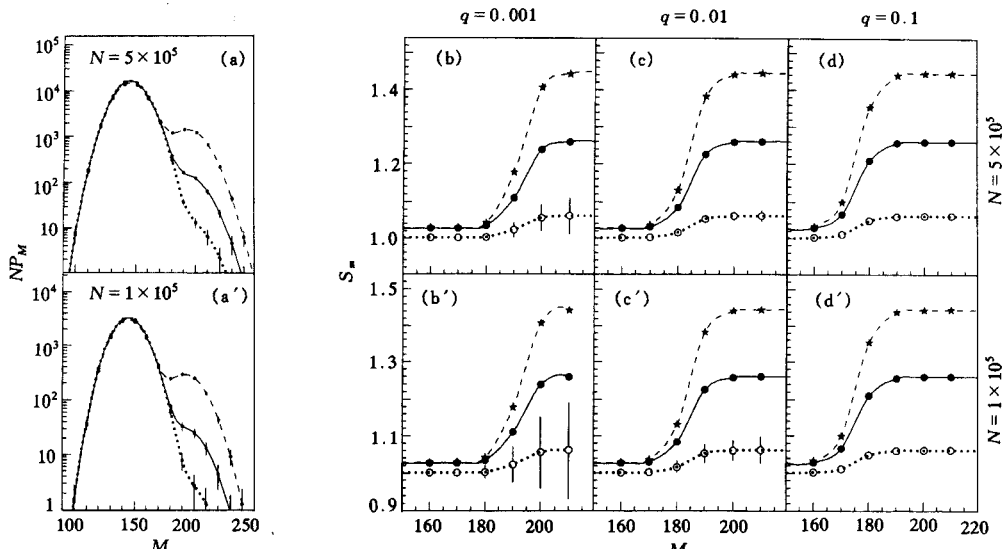


图 1 有 QGP 产生时的 π 多重数分布((a), (a'))和多 π 关联平均强度((b)–(d), (b')–(d'))
在(a), (a')中, 虚线, 实线和点线分别对应 $q = 0.1, q = 0.01$ 和 $q = 0.001$; 在(b)–(d)和(b')–(d')中, \circ , \bullet 和 $*$ 分别
对应 $m = 2, m = 4$ 和 $m = 6$; 点线, 实线和虚线是相应的平滑连接曲线.

当有夸克-胶子等离子体产生时, 事件的 π 多重数分布在高多重数区域会形成肩形结构. 与此相应, 多 π 关联平均强度在此多重数区间上随 M 有明显的上升. 但是当产生夸克-胶子等离子体事件的几率非常小时, 如 $q = 0.001$, 由于统计的限制, 由多重数分布确定是否有夸克-胶子等离子体的产生很困难. 而另一方面, 在高多重数事件中, m 个粒子的统计抽样数当 $m = 2, 3, 4, 5, 6, \dots, m \leq M/2$ 时随 m 迅速增加, 多 π 关联平均强度在此多重数区间的上升亦随 m 的增加而更加显著. 因而多 π 关联的平均强度能够用来敏感地探测在极少数高 π 多重数事件中是否有夸克-胶子等离子体产生. 当有夸克-胶子等离子体产生时, 多 π 关联平均强度在高多重数区间有明显的上升, 而如果没有夸克-胶子等离子体产生时, 由 S_m 的计算公式(12)可看出, 当 $q = 0$ 时, 多 π 关联平均强度不会随 M 而变化.

在实验数据分析中,由于高 π 多重数事件对应的碰撞对心程度高, π 源的半径大^[8,9],因而在这种情况下,多 π 关联平均强度也不会随 π 多重数的增加而增加.

4 源寿命及 QGP 相 π 源膨胀速率的影响

本节讨论源寿命及 QGP 相 π 源的膨胀速率对多 π 关联信号的影响. 由第二节可知,无论是对强子气体相的 π 源还是对 QGP 相的 π 源,多 π 关联的平均强度都会随源寿命的增加而下降. 但是由于强子气体相源的半径较大,多 π 关联的平均强度接近于 1, 源寿命的变化对其影响不大. 而 QGP 相源的半径较小,多 π 关联平均强度较大,源寿命对其的影响也较大. 因而,源寿命对多 π 关联信号的影响主要是由于其使得对应 QGP 相源的多 π 关联平均强度下降,导致多 π 关联信号减弱. 一般地,当 QGP 相表面发生强子化时会产生沿径向的膨胀速度^[3]. 根据文献 [6] 的讨论,在 2π 干涉学中,从膨胀的表面源发出的 π 对对于

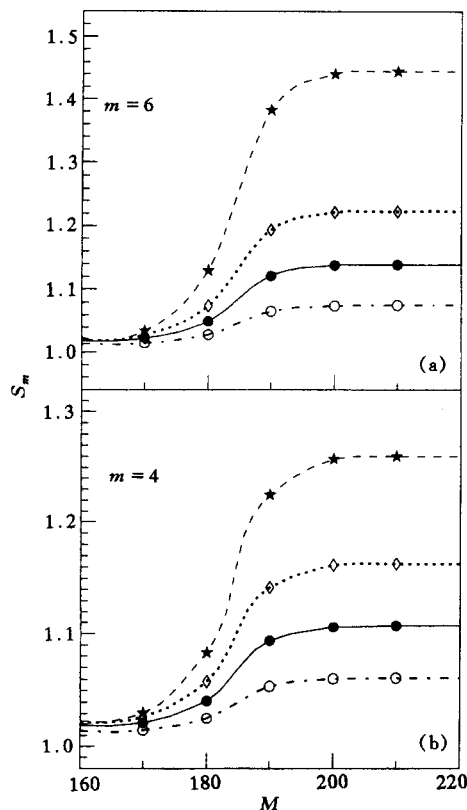


图 2 对应不同源寿命的 S_m 随 π 多重数 M 的变化
在(a)和(b)中,*、 \diamond 、●和○分别对应源寿命 $\tau = 0, 10, 20, 40 \text{ fm} / c$; 虚线,点线,实线和点划线是相应的平滑连接曲线.

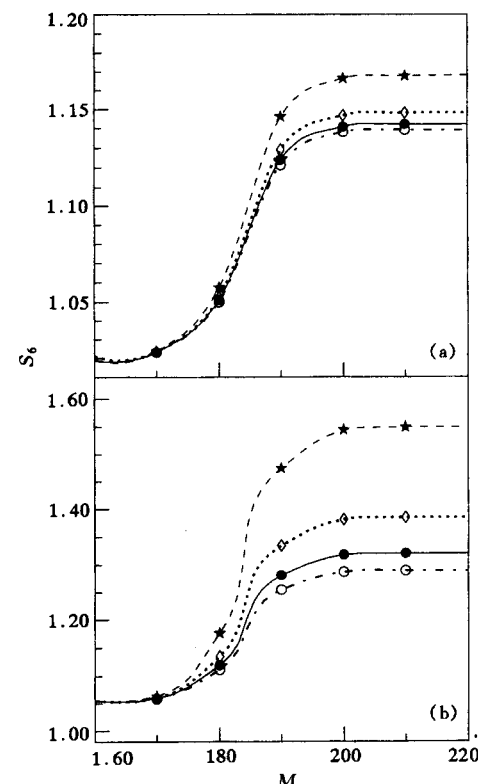


图 3 对应不同源膨胀速率 v 的 S_6 随 π 多重数 M 的变化
(a) 是对所有 π 介子计算的结果; (b) 是对大动量截断 $p \geq 500 \text{ MeV} / c$ 的计算结果. 在(a)和(b)中,○,●,◊,* 分别对应 $v / c = 0, 0.4, 0.6, 0.8$; 点划线, 实线, 点线和虚线是相应的平滑连接曲线.

较小的表观半径,特别是当 π 对的总动量较大时. 对 Bevalac 能量下高能重离子碰撞的实验分析也表明^[8],当 π 介子的动量较大时,对应的半径较小. 因而,对由径向膨胀的 QGP 相 π 源产生的 π 介子,其多 π 关联平均强度可能会增加,从而导致多 π 关联信号增强.

图 2 是对不同源寿命计算的多 π 关联平均强度 S_m 随事件多重数 M 变化的比较. 其中, $N = 1 \times 10^5$, $q = 0.01$, Q_m 的区间与图 1 所取的相同. 对纯的强子气体相 π 源和纯的 QGP 相 π 源, $\tau \sim 10 \text{ fm} / c$ ^[10], 这时有 QGP 存在的多 π 关联信号依然很明显. 而如果有强子气体与 QGP 混合相存在时,在静态初始条件下,源寿命会变长 ($\tau \sim 40\text{--}70 \text{ fm} / c$)^[10], 这时的多 π 关联信号会有所减弱.

图 3 是对不同 QGP 相 π 源的膨胀速率 v 计算的多 π 关联平均强度 S_v 随事件多重数 M 变化的比较. 其中, $N = 1 \times 10^5$, $q = 0.01$, $\tau = 20 \text{ fm} / c$. 图 3 的结果表明,对膨胀的 QGP 相 π 源,其多 π 关联的平均强度随膨胀速率的增加而有所增强,特别是在大动量截断下. 因而 QGP 相 π 源的膨胀会使得多 π 关联的信号更加明显.

最近,有人提出未来在 NBL 的相对论重离子对撞机(RHIC)和在 CERN 的大型强子对撞机(LHC)能量下,重离子碰撞中产生的夸克-胶子等离子体的强子化过程会非常迅速^[11]. 在这种情况下,粒子发射源的寿命只有几个 fm,而其膨胀的速率可能较大,多粒子玻色-爱因斯坦关联的分析能够给出明显的信号.

最后,需要说明的是,在本文的分析中没有考虑末态库仑相互作用的影响. 这是因为这种影响只对小相对动量的 π 介子对有作用 ($q_{ij} \sim m_\pi \alpha^{1/2} = 12 \text{ MeV} / c$)^[12, 13]. 模拟研究的结果表明,在本文所选择的 Q_m 区间上,末态库仑相互作用对计算多 π 关联平均强度的影响可以忽略不计^[7].

5 结论

本文对高能重离子碰撞中少数事件有 QGP 产生时的多 π 关联进行了分析. 由于核物质在纯强子气体相和在纯 QGP 相的密度相差很大,因而当有 QGP 产生时会形成两种空间尺度不同的 π 源,其多 π 关联的平均强度不同. 这时在 π 多重数分布的肩形区域,多 π 关联平均强度随 π 多重数 M 增加而上升,并且其升幅随抽样 π 介子数的增加而增加. 由于有 QGP 相变发生事件的平均 π 多重数较高,而在高多重数事件中,多粒子关联的分析有很好的统计,因而能够对单个的事件做逐一的研究. 这样即使有 QGP 产生的事件数很少,多 π 关联平均强度的分析也能给出明显的判定信号. 这种信号在有强子气体和 QGP 混合相存在的情况下,由于源的寿命变长会有所减弱. 在未来 RHIC 和 LHC 能量的重离子碰撞实验分析中,多粒子玻色-爱因斯坦关联是研究 QGP 形成及其强子化过程的有效手段.

参 考 文 献

- 1 Kapusta J I, Vischer A P, Venugopalan R. Phys. Rev., 1995, **C51**:901
- 2 Kapusta J I, Vischer A P. Phys. Rev., 1995, **C52**:2725
- 3 Hove L V Z. Phys., 1985, **C27**:135
- 4 Hüfner J, Klevansky S P, Quack E et al. Phys. Lett., 1994, **B337**:30
- 5 Zajc W A. Phys. Rev., 1987, **D35**:3396

-
- 6 Pratt S. Phys. Rev. Lett., 1984, **53**:1219
 7 Zhang W N, Liu Y M, Huo L et al. Phys. Rev., 1995, **C51**:922
 8 Beavis D, Chu S Y, Fung S Y et al. Phys. Rev., 1986, **C34**:757
 9 Zhang W N, Liu Y M, Wang S et al., Phys. Rev., 1993, **C47**:795
 10 Pratt S. Phys. Rev., 1986, **D33**:1314
 11 Csernai L P, Mishustin I N. Phys. Rev. Lett., 1995, **74**:5005
 12 Gyulassy M, Kauffmann S K, Wilson L W. Phys. Rev., 1979, **C20**:2267.
 13 Pratt S. Phys. Rev., 1986, **D33**:72

Multipion Correlation Signal for OGP Formation in High Energy Heavy Ion Collisions *

Zhang Weining Huo Lei Chen Xiangjun Liu Yiming

(*Department of Physics, Harbin Institute of Technology, Harbin 150001*)

D. Keane H. Liu

(*Department of Physics, Kent State University, Kent, Ohio 44242*)

Abstract The multiparticle Bose-Einstein correlations for formation of quark-gluon plasma (QGP) in high energy heavy ion collisions are analysed. Investigating the average correlation intensities of multipions as a function of pion multiplicity indicates that they have obvious enhancements in the high multiplicity region. This signature can be used to detect the existence of QGP in rare high-pion-multiplicity events sensitively in high energy heavy ion collisions.

Key words high energy heavy ion collisions, multipion correlations, quark-gluon plasma

Received 24 February 1998

* Supported by the National Natural Science Foundation of China